

儿童颅内毛细胞黏液样星形细胞瘤 8 例 影像学表现

Imaging Characteristics of 8 Cases with Pilomyxoid Astrocytoma in Children

KONG Lei, LIU Yue, LI Wen-feng, CHENG Hua, ZHANG Ning-ning

孔 磊, 刘 翊, 李文风, 程 华, 张宁宁

(首都医科大学附属北京儿童医院影像中心, 国家儿童医学中心, 北京 100045)

摘要: [目的] 探讨儿童毛细胞黏液样星形细胞瘤(PMA)的影像学表现。[方法] 回顾性分析8例颅内PMA患儿信息, 总结分析其影像学特点。[结果] 肿瘤均边界清楚, 位于下丘脑-视交叉-第三脑室区5例; MRI检查, 实性病灶4例, 囊实性1例; T1WI, 4例病灶实质性成分表现为低信号, 1例信号略高, 呈等低信号; T2WI, 4例表现为高或略高信号, 1例实质性部分呈等信号; T2FLAIR上3例呈稍高信号, 2例呈等信号; DWI病灶均呈低信号。5例增强后实质性成分均明显强化。2例侵犯视交叉、视束、丘脑及基底节区。2例出现脑脊液播散。病灶均无明显瘤周水肿。位于小脑蚓部3例; MRI检查, 2例以实质性成分为主, 其内可见囊变, 1例为囊实质性; T1WI实质性成分均表现为等低信号; T2WI均表现为高或略高信号; 2例增强后实质性成分明显强化, 1例病灶无明显强化; DWI呈低信号; 病灶均无明显瘤周水肿; 1例行SWI检查, 可见病灶内点状出血。平扫CT检查, 7例表现为等低密度, 1例表现为稍高密度。[结论] PMA好发于儿童和青少年, 下丘脑-视交叉-第三脑室区常见, 年龄偏小(平均2.4岁), 发生在小脑区者年龄较大(平均5.5岁); 肿瘤多以实质性为主, 强化方式多样, 肿瘤内出血和周围水肿少见, 脑脊液播散较常见。

主题词: 毛细胞黏液样星形细胞瘤; 下丘脑-视交叉-第三脑室; 小脑蚓部; CT; MRI

中图分类号: R739.41 **文献标识码:** B **文章编号:** 1671-170X(2019)10-0920-04

doi: 10.11735/j.issn.1671-170X.2019.10.B014

毛细胞黏液样星形细胞瘤(pilomyxoid astrocytomas, PMA)是一种少见的中枢神经系统肿瘤, 2016年WHO脑肿瘤分类中其为毛细胞型星形细胞瘤(pilocytic astrocytomas, PA)的一种亚型, 属于WHOⅡ级肿瘤^[1], 与PA有不同的组织学和临床特征, 容易复发和脑脊液播散, 预后差。由于本病发病率低, 对其认识尚不足。本文回顾性分析我院2016年9月至2017年9月间收住院, 并经手术病理证实的8例儿童颅内PMA临床及影像学特点, 以提高对本病的影像学认识及诊断水平。

1 资料与方法

1.1 临床资料

回顾性分析首都医科大学附属北京儿童医院2016年9月至2017年9月间经手术病理证实的

基金项目: 北京市属医院科研培育计划资助项目(PX2016035); 北京市高层次卫生技术人才培养计划资助项目(2015-3-082)

通信作者: 刘翊, 主任医师, 博士; 首都医科大学附属北京儿童医院影像中心, 北京市西城区南礼士路56号(100045); E-mail: liuyue20136@163.com

收稿日期: 2018-06-12; 修回日期: 2018-10-08

PMA患儿8例, 男性4例, 女性4例; 年龄1.1~7.6岁, 平均年龄3.6岁。临床表现主要为头痛、恶心、呕吐、眼球震颤、视力下降等。

1.2 影像学检查方法

患者均行头颅CT平扫、头颅MRI平扫及增强扫描, 其中1例行磁敏感加权成像(susceptibility weighted imaging, SWI)。

头颅MRI扫描采用Philips Achieva 3.0 T磁共振扫描仪, 8通道头线圈。常规平扫序列包括横断位T1WI、T2WI、液体衰减反转恢复(T2FLAIR)序列、弥散加权成像(diffusion weighted imaging, DWI)和矢状位T1WI序列。扫描序列及参数如下, T2WI: TR 3000ms, TE 100ms, 层厚5mm, 层间隔1.0mm; T1WI, 采用反转恢复脉冲序列(inversion recovery, IR), TR 4346ms, TE 120ms, TI 2200ms, 层厚5mm, 层间隔1.0mm; T2FLAIR: TR 7000ms, TE 150ms, TI 2200ms, 层厚5mm, 层间隔1.0mm; DWI: TR 2352ms, TE 89ms, 层厚5mm, 层间隔1.0mm, 同时计算出表观扩散系数(apparent diffusion coefficient, ADC)图。

SWI采用Vein-Bold 3D-FFE序列, TR 8ms, TE

25ms, 反转角 15°, 激励次数 1, 通过 Philips 工作站 SWI 后处理软件得到校正的相位图和强度图, 再对强度图进行横轴位最小密度投影 (minimum intensity projection, Min IP), 层厚与层间距之和为 6mm, 共获得 24 层 Min IP 图像。

MRI 增强扫描均采用 T1WI 增强扫描, 包括轴位+矢状位, 采用钆喷酸葡胺注射液 (Magnevist) 造影剂, 注射方式: 由高压注射器以 0.8~2.0ml/s 推注。造影剂剂量 0.1mmol/kg。

头颅 CT 平扫采用 64 排宝石 CT (Discovery HD750, GE Healthcare)。检查时患儿的头部用垫子固定好。采用轴位扫描方法, 扫描时管电压 120kV, 恒定管电流 165mA, Pitch:1.375, 转速 0.8s, 层厚 5.0mm, 层间距 5.0mm。

1.3 病理检查

标本行大体及镜下组织学检查, 免疫组织化学染色主要包括 Vimentin, Syn, GAPA, BRAFV600E, S-100。

所有 MRI、CT 图片均由两名放射科医师独立评估, 最后诊断以意见达到一致为准。

2 结 果

2.1 发病部位

5 例位于下丘脑-视交叉-第三脑室区, 年龄 1.1~4.5 岁, 平均年龄 2.4 岁; 小脑蚓部 3 例, 年龄 3.9~7.6 岁, 平均年龄 5.5 岁。

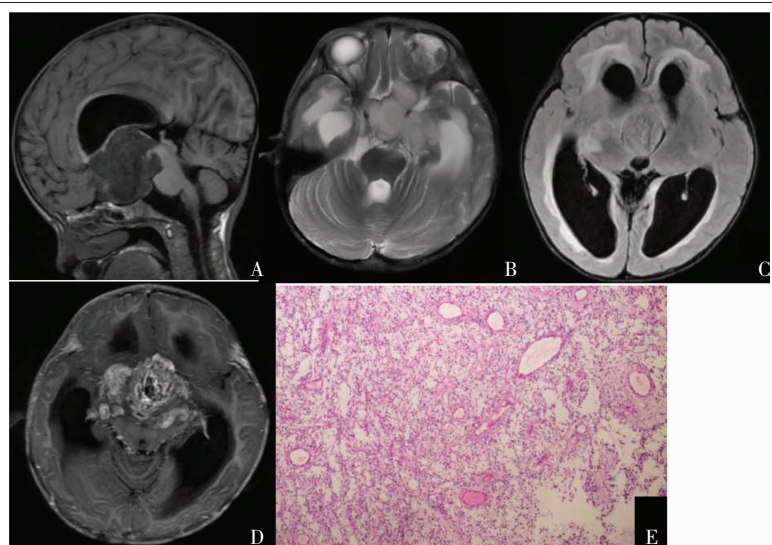
2.2 病灶形态、大小

下丘脑-视交叉-第三脑室实质性病灶 4 例, 其内均可见囊变, 囊实性 1 例, 均呈类圆形、分叶状肿块, 边界清楚, 病灶最大径 41~99mm, 平均 58.8mm。小脑蚓部 3 例, 实性 2 例, 囊实性 1 例, 呈圆形、类圆形, 无明显分叶, 病灶最大径 42~66mm, 平均 52.3mm。

2.3 MRI 表现

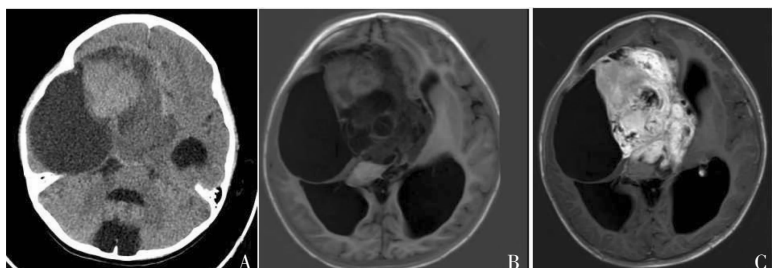
8 例行 MRI 平扫及增强检查, 下丘脑-视交叉-第三脑室区 5 例。T1WI

中, 4 例病灶实质性部分表现为低信号 (Figure 1A), 1 例信号略高, 呈等信号 (Figure 2B); T2WI 中, 4 例表现为高或略高信号 (Figure 1B, 3A), 1 例实质性部分呈等信号; T2FLAIR 上 3 例呈稍高信号 (Figure 1C), 2 例呈等信号; DWI 中, 1 例病灶内出现点状高信号, ADC 图为低信号 (Figure 3B, C), 另外 4 例病灶为 DWI 低信号。增强后实质性部分均明显强化, 呈条状、结节状、花环状强化, 病灶内可见斑点片状无强化区 (Figure 1D, 2C); 2 例出现右侧大脑脚前缘、脑干、小脑前缘、小脑蚓部点状强化 (Figure 1D)。2 例侵犯视



- A, The tumor had a low signal intensity on T1 imaging
- B, The tumor had a high signal intensity with homogeneous signal intensity on T2 imaging. The tumor invaded the optic chiasm and optic tract
- C, The tumor had a low signal intensity on T2 FLAIR imaging. The tumor invaded thalamus and basal ganglia region
- D, The tumor showed inhomogeneous diffuse enhancement on coronal T1 imaging (cerebellar frontal enhancement was not shown in the figure)
- E, There was angiogenic arrangement of tumor cells around focally hyalinized vessels (HE 100×)

Figure 1 The MRI and pathological characteristics of pilomyxoid astrocytoma



- A, CT showed a large, irregular, solid and cystic brain tumor with mild peritumoral edema
- B, The tumor had a low signal intensity on T1 imaging
- C, The solid components of the tumor showed inhomogeneous diffuse enhancement on coronal T1 imaging. The cystic components of the tumor are not enhanced

Figure 2 The CT and MRI characteristics of pilomyxoid astrocytoma

交叉、视束、丘脑及基底节区(Figure 1B、1C)；病灶均无明显瘤周水肿；4例出现不同程度的脑积水。位于小脑蚓部3例，其中1例侵及左侧小脑半球(Figure 4A~C)；2例以实性成分为主(Figure 4C)，其内可见囊变，1例为囊实质性；T1WI实性成分均表现为等低信号；T2WI均表现为高或略高信号，其中1例T2WI高信号中见条状低信号影(Figure 4B)；T2FLAIR上2例呈稍高信号，1例呈等信号；DWI病灶均为低信号。增强后2例实性成分明显强化，其内可见条状无强化，1例病灶无明显强化。病灶均无明显瘤周水肿；1例出现脑积水。1例行SWI检查，可见病灶内点状低密度，相位图可与钙化相鉴别(Figure 4D、E)。

2.4 CT 表现

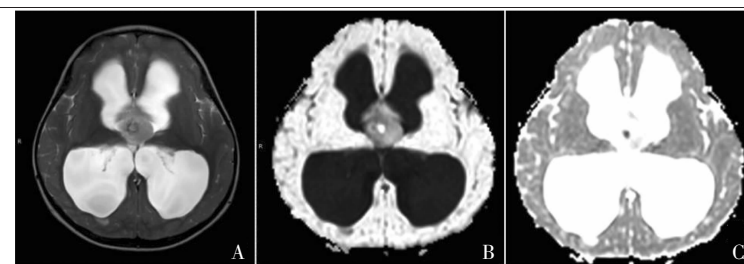
8例行平扫CT检查，7例表现为等低密度，CT值约22~25HU，1例表现为稍高密度，CT值约36HU(Figure 2A)，其中小脑区钙化1例(Figure 4A)，表现为病灶内片状高密度影。

2.5 病理表现

镜下肿瘤具有黏液性基质，无PA致密区和疏松区双相性结构；由双极性肿瘤细胞构成，围绕血管周围呈放射状排列，形成假菊团结构(Figure 1E)；肿瘤内缺乏Rosenthal纤维和嗜酸性颗粒小体或透明小体。免疫组织化学染色：CD31(血管+)，CD34(血管+)，INI-1(+)，Vimentin(+)，Syn(+)，GAP43(+)，BRAFV600E(+), S-100(+), 八因子(血管+)。

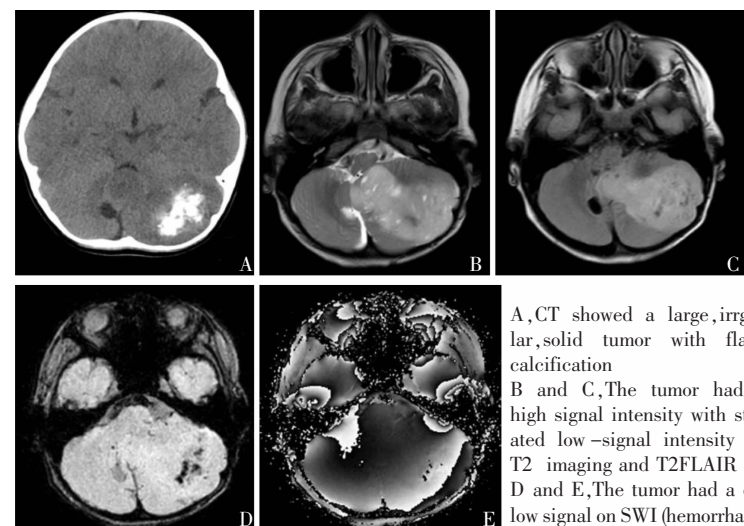
3 讨 论

PMA是一种少见的中枢神经系统肿瘤，常起源于神经轴中线，如视交叉-下丘脑-第三脑室区域，少见部位如顶叶、颞叶、基底节、四脑室、小脑等^[2]。肿瘤发生部位和年龄具有相关性，不典型部位年龄较大^[3]，且发生在小脑的肿瘤，主要位于中线区域：小脑蚓部和扁桃体^[4]。既往研究报道^[3,5]多为下丘脑-视交叉-第三脑室区域肿瘤，而对小脑区的肿瘤



A, The tumor presented slightly higher signal with low signal shadow around the spot-like high signal on T1 imaging
B and C, The center of the tumor had a high signal on DWI and had a low signal on ADC

Figure 3 The MRI characteristics of pilomyxoid astrocytoma



A, CT showed a large, irregular, solid tumor with flaky calcification
B and C, The tumor had a high signal intensity with striated low-signal intensity on T2 imaging and T2FLAIR
D and E, The tumor had a dot low signal on SWI (hemorrhage)

Figure 4 The CT and MRI characteristics of pilomyxoid astrocytoma

鲜有报道。本研究8例中，5例位于下丘脑-视交叉-第三脑室区域，年龄1.1~4.5岁；3例位于小脑，且均位于小脑蚓部，年龄3.9~7.6岁，较发生在下丘脑-视交叉-第三脑室区域的患儿年龄偏大。

本组下丘脑-视交叉-第三脑室区PMA边界清楚，均为实性或囊实质性分叶状肿块，肿瘤体积较大，突入邻近脑池，部分沿视路浸润生长。T1WI呈低信号或等低信号，T2WI及T2FLAIR上呈稍高信号或等信号，这可能和肿瘤中的黏液基质成分有关^[6]，DWI为低信号，与文献报道相符^[5,7-8]。本组5例中，增强后均明显强化，强化方式多样，表现为条状、结节状或花环状强化，这可能与肿瘤细胞血管中心样生长有关^[9]；病灶内均可见部分实性成分无强化，考虑肿瘤内可能存在坏死或囊性变^[9]。大多数认为该肿瘤占位效应轻，无明显瘤周水肿和侵犯周围脑实质表现，若肿瘤较大时可向深部脑白质及灰质延伸，表现出浸润性生长的征象^[10]。本组5例均无明显瘤

周水肿，有2例视交叉-下丘脑-第三脑室区域肿瘤出现丘脑，基底节区浸润。文献报道PMA易出现脑脊液播散^[11]，本组病例中2例出现脑脊液播散。

本组小脑区PMA为实性或囊实质性肿物，实性成分较多，T1WI呈等低信号，T2WI为高或略高信号，T2FLAIR上呈稍高信号或等信号，DWI为低信号，与既往个案报道影像学表现基本一致^[12]。小脑区PMA虽与下丘脑-视交叉-第三脑室区肿瘤在发生部位及好发年龄方面存在差异，但肿瘤特征基本一致，边界清楚，均为实性或囊实质性分叶状肿块，MRI各序列信号基本一致；视交叉-下丘脑-第三脑室区域肿瘤较大时侵及丘脑、基底节，小脑蚓部的肿瘤体积较大时可侵及一侧小脑半球；肿瘤均无明显瘤周水肿。

鉴别诊断：PMA主要应与PA鉴别，PMA在影像上、病理组织学上与PA极为相似，既往多误诊为PA，PA好发在小脑，以囊性肿块伴壁结节型为主，伴有瘤周水肿，而PMA主要为实性或实质性成分为主伴小囊性病灶，很少有瘤周水肿，且发生在小脑区的PMA，主要位于中线区域：小脑蚓部和扁桃体^[4]，与PA常见部位小脑半球不同。此外发生在鞍区的PMA还应与颅咽管瘤、生殖细胞瘤等鉴别；颅咽管瘤：主要是造釉细胞型，表现为囊性在上实质性在下的囊实质性病灶，实质性成分强化不及PMA明显，CT上有蛋壳样钙化较有特征性；生殖细胞瘤好发于儿童和青年，高峰年龄为10~20岁，婴幼儿罕见，临床常表现为尿崩症，MRI表现为类圆形实质性肿块，增强扫描呈均匀显著强化，DWI肿瘤的实质部分呈高信号，有助于与PMA鉴别。发生在小脑区的PMA还需要与室管膜瘤及髓细胞母细胞瘤相鉴别。室管膜瘤轮廓多较清楚，肿瘤生长缓慢，受重力影响肿瘤多向下生长，常经第四脑室侧孔、正中孔塑形生长，进入桥小脑角区及枕大池区，邻近小脑半球多见水肿，且室管膜瘤钙化较常见，可与PMA相鉴别。髓细胞母细胞瘤以实性肿块为主，故CT多为等或稍高密度肿瘤，少见囊变、坏死及出血，DWI多表现为弥散受限，而PMA，CT多表现为等低密度，且DWI弥散不受限，这对两者的鉴别有帮助。

综上所述，儿童PMA发病率较低，特征性表现不明显，既往对该病普遍认识不足。肿瘤以实质性成分为主，其内可见囊变、钙化，无瘤周水肿，弥散不受限，增强可见明显强化，强化方式多样，可见脑脊液

播散，是PMA的影像学特点，对临床诊断和治疗有提示作用。

参考文献：

- [1] Bai J, Cheng JL, Gao AK, et al. 2016 WHO of tumors of the central nervous system: an interpretation[J]. Chinese Journal of Neuromedicine, 2016, 50(12): 1000-1005. [白洁, 程敬亮, 高安康, 等. 2016年WHO中枢神经系统肿瘤分类解读[J]. 中华放射学杂志, 2016, 50(12): 1000-1005.]
- [2] Louis DN, Ohgaki H, Wiestler OD, et al. The 2007 WHO classification of tumours of the central nervous system[J]. Acta Neuropathol, 2007, 114(2): 97-109.
- [3] Huang DJ, Sun SJ, Li Y. MRI features of pilomyxoid astrocytomas and pilocytic astrocytomas in hypothalamus/optic chiasma region [J]. Journal of Practical Radiology, 2015, (7): 1078-1081. [黄丹江, 孙胜军, 李瑾. 下丘脑/视交叉区毛细胞黏液样型与毛细胞型星形细胞瘤的MRI征象对比[J]. 实用放射学杂志, 2015, (7): 1078-1081.]
- [4] Ge PF, Wang HF, Qu LM, et al. Pilomyxoid astrocytoma in cerebellum[J]. Chin J Cancer Res, 2011, 23(3): 242-244.
- [5] Fan WH, Du BL, Liang Y, et al. MRI Characteristics of pilomyxoid astrocytoma arising from sellar region in infant[J]. Journal of Clinical Radiology, 2017, 36(2): 272-275. [范文辉, 杜柏林, 梁奕, 等. 婴幼儿鞍区毛细胞黏液样型星形细胞瘤MRI表现[J]. 临床放射学杂志, 2017, 36(2): 272-275.]
- [6] Horger M, Vogel MN, Beschorner R, et al. T2 and DWI in pilocytic and pilomyxoid astrocytoma with pathologic correlation[J]. Can J Neurol Sci, 2012, 39(4): 491-498.
- [7] Peng WS, Xu XS, Yang Y. MRI and pathologic characteristics of pilomyxoid astrocytoma[J]. Journal of Medical Imaging, 2015, 25(11): 1907-1910. [彭伟生, 徐新申, 杨毅. 毛细胞黏液样型星形细胞瘤的MRI及病理表现[J]. 医学影像学杂志, 2015, 25(11): 1907-1910.]
- [8] Jia CH, Zhang ZJ, Ding QG, et al. Pilomyxoid Astrocytoma: Imaging Characteristics and Correlation with Clinical Pathology[J]. Chinese Journal of CT and MRI, 2015, (9): 33-35, 50. [贾传海, 张宗军, 丁庆国, 等. 毛细胞粘液样型星形细胞瘤的影像学表现与临床病理学对照(3例报道及文献复习)[J]. 中国CT和MRI杂志, 2015, (9): 33-35, 50.]
- [9] Li MR, Zhang ZY, Li YH, et al. MRI characteristics of pilomyxoid astrocytoma [J]. Chinese Journal of Radiology, 2014, (5): 422-424. [李美蓉, 张忠阳, 李玉华, 等. 儿童颅内毛细胞黏液样星形细胞瘤的MRI表现[J]. 中华放射学杂志, 2014, (5): 422-424.]
- [10] Mendiratta-Lala M, Kader ES, Gutierrez JA, et al. Spinal cord pilomyxoid astrocytoma: an unusual tumor[J]. J Neuroradiology, 2007, 17(4): 371-374.
- [11] Lee IH, Kim JH, Suh YL, et al. Imaging characteristics of pilomyxoid astrocytomas in comparison with pilocytic astrocytomas[J]. Eur J Radiol, 2011, 79(2): 311-316.
- [12] Chen AS, Paldor I, Tsui AE, et al. Pilomyxoid astrocytoma in the adult cerebellum[J]. J Clin Neurosci, 2016, 27: 170-173.